

Краткие сообщения

05

Наиболее опасное направление скольжения в ГЦК-кристалле серебра при деформации сдвига $(111) \langle 1\bar{2}1 \rangle$

© С.Н. Бедарев, Д.Д. Рудер

Алтайский государственный университет,
656049 Барнаул, Россия
e-mail: bedarev@law.asu.ru, ddr@asu.ru

(Поступило в Редакцию 10 августа 2009 г.)

Методом компьютерного моделирования исследован механизм разрушения ГЦК-решетки серебра при деформации сдвига $(111) \langle 1\bar{2}1 \rangle$ и определено направление неустойчивого смещения атомов в кристалле при нарушении динамического условия устойчивости. Показано, что наиболее опасное направление движения атомов в кристалле, приводящее к структурной неустойчивости, не полностью совпадает с направлением $\langle 1\bar{2}1 \rangle$, лежащим в плоскости (111) , а имеет перпендикулярную составляющую в направлении $[111]$.

Условия устойчивости кристаллической решетки под действием внешних нагрузок были впервые достаточно полно и систематически исследованы Борном [1]. В работе установлено, что общим условием устойчивости решетки являются условия действительности всех частот нормальных колебаний для всех волновых векторов \mathbf{k} внутри зоны Бриллюэна:

$$\omega^2(\mathbf{k}) > 0. \quad (1)$$

Условия (1) можно рассматривать как динамические условия устойчивости кристаллической решетки. В длинноволновом пределе динамические условия устойчивости совпадают с условиями термодинамической устойчивости кристалла при статической однородной деформации.

Анализ динамических условий устойчивости решетки обладает тем несомненным достоинством, что при решении задачи на собственные значения динамической матрицы $D_{\alpha\beta}(\mathbf{k})$ [2]:

$$D_{\alpha\beta}(\mathbf{k})e_{\beta}(\mathbf{k}) = \omega^2(\mathbf{k})e_{\alpha}(\mathbf{k}) \quad (2)$$

можно определить и собственные векторы $e_{\alpha}(\mathbf{k})$, направление которых совпадает с направлением колебания атомов соответствующей моды колебаний. Следовательно, анализ направления собственного вектора моды колебаний, частота которой при деформации обращается в нуль, позволяет определить направление неустойчивого движения атомов кристалла, приводящее к его разрушению, т. е. исследовать механизм разрушения кристалла.

В настоящей работе эта идея применена для исследования механизма разрушения ГЦК-решетки серебра при деформации сдвига $(111) \langle 1\bar{2}1 \rangle$ и определения направления неустойчивого смещения атомов в кристалле при нарушении динамического условия устойчивости.

Схема расположения атомов и схема моделирования деформации сдвига приведены на рис. 1. Плотнупакованные плоскости (111) ГЦК-решетки в недеформированном состоянии расположены параллельно плоскости $Y = 0$, кристаллографические направления $[1\bar{2}1]$ и $[10\bar{1}]$ ориентированы вдоль осей координат OX и OZ соответственно. Деформация сдвига осуществляется путем наклона кристаллографического направления $[111]$ в сторону оси OX , при этом атомные плоскости (111) сдвигаются параллельно вдоль оси OX , величина сдвига характеризуется углом сдвига γ между направлением $[111]$ и осью OY .

В качестве модели межатомного взаимодействия использована разработанная авторами модель [3], основанная на методе внедренного атома [4]. В зависимости от угла сдвига γ были рассчитаны фоновые спектры для

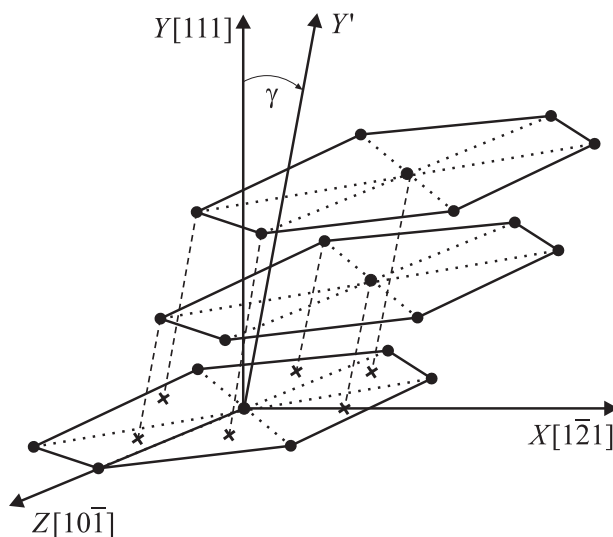


Рис. 1. Схема моделирования сдвига $(111) \langle 1\bar{2}1 \rangle$.

следующих 25 направлений волнового вектора: $[001]$, $[010]$, $[100]$, $[110]$, $[1\bar{1}0]$, $[101]$, $[10\bar{1}]$, $[011]$, $[01\bar{1}]$, $[111]$, $[11\bar{1}]$, $[1\bar{1}1]$, $[1\bar{1}\bar{1}]$, $[112]$, $[11\bar{2}]$, $[1\bar{1}2]$, $[1\bar{1}\bar{2}]$, $[121]$, $[12\bar{1}]$, $[1\bar{2}1]$, $[1\bar{2}\bar{1}]$, $[211]$, $[21\bar{1}]$, $[2\bar{1}1]$, $[2\bar{1}\bar{1}]$. Анализ фотонных частот в этих направлениях показал, что первыми обращаются в нуль квадраты частот поперечной моды T_2 в направлении $[111]$, независимо от значения модуля волнового вектора (рис. 2, *a*), критический угол сдвига $\gamma_{\text{crit}} \approx 0.15$.

Для уточнения минимального критического угла сдвига и соответствующего волнового вектора, при котором нарушаются динамические условия устойчивости, были рассчитаны фоновые спектры для произвольных направлений волнового вектора в зависимости от сферических координат волнового вектора $\mathbf{k}(k, \vartheta, \varphi)$, где k — модуль волнового вектора, ϑ — угол между вектором \mathbf{k} и осью OY , а φ — угол между проекцией вектора \mathbf{k} на плоскость XOZ и осью OX .

Так как нарушение динамических условий устойчивости (1) в данном направлении происходит одновременно независимо от модуля волнового вектора, то ниже приведены результаты расчета для фиксированного значения модуля волнового вектора $k/k_{\text{max}} = 0.1$.

Результаты расчета фоновых спектров для произвольных направлений волнового вектора показали, что первым происходит нарушение динамического условия устойчивости (1) также для моды T_2 вблизи окрестности направления $[111]$. На рис. 2, *b* приведены результаты расчета частот фононов для моды T_2 в зависимости от угла θ для волнового вектора \mathbf{k} , лежащего в плоскости $(10\bar{1})$ ($\varphi = 0$), для значений угла сдвига $\gamma = 0.1302$, 0.1304 и 0.1306 . Из рис. 2, *b* видно, что критической является деформация сдвига $\gamma = 0.1304$, при которой в нуль обращается частота фононов для направления волнового вектора \mathbf{k} с координатами $\vartheta_{\text{crit}} = -7.2^\circ$ и $\varphi = 0^\circ$. Декартовы координаты собственного вектора $e_{T_2}(\mathbf{k})$ равны $(0.98922; 0.14643; 0)$. Таким образом, поскольку Z -координата вектора $e_{T_2}(\mathbf{k})$ равна нулю, то вектор $e_{T_2}(\mathbf{k})$ лежит в кристаллографической плоскости $[10\bar{1}]$. Угол наклона вектора $e_{T_2}(\mathbf{k})$ к плоскости (111) равен 8.42° .

Для того чтобы исследовать условия динамической устойчивости для волнового вектора \mathbf{k} , не лежащего в плоскости $(10\bar{1})$, были проведены расчеты значения частоты фононов для моды T_2 в зависимости от угла θ в окрестности критического значения $\vartheta_{\text{crit}} = -7.2^\circ$ для разных значений угла φ . Результаты расчета для значения $\gamma_{\text{crit}} \approx 0.1304$ приведены на рис. 2, *c*. Из рис. 2, *c* видно, что для волнового вектора \mathbf{k} , не лежащего в плоскости $(10\bar{1})$, нарушение динамических условий устойчивости происходит позже, чем для вектора \mathbf{k} , лежащего в плоскости $(10\bar{1})$.

На рис. 3 приведено расположение атомов в плоскости $[10\bar{1}]$ при деформации сдвига со значением $\gamma_{\text{crit}} \approx 0.1304$, там же показано направление собственного вектора $e_{T_2}(\mathbf{k})$. Из рис. 3 видно, что направление

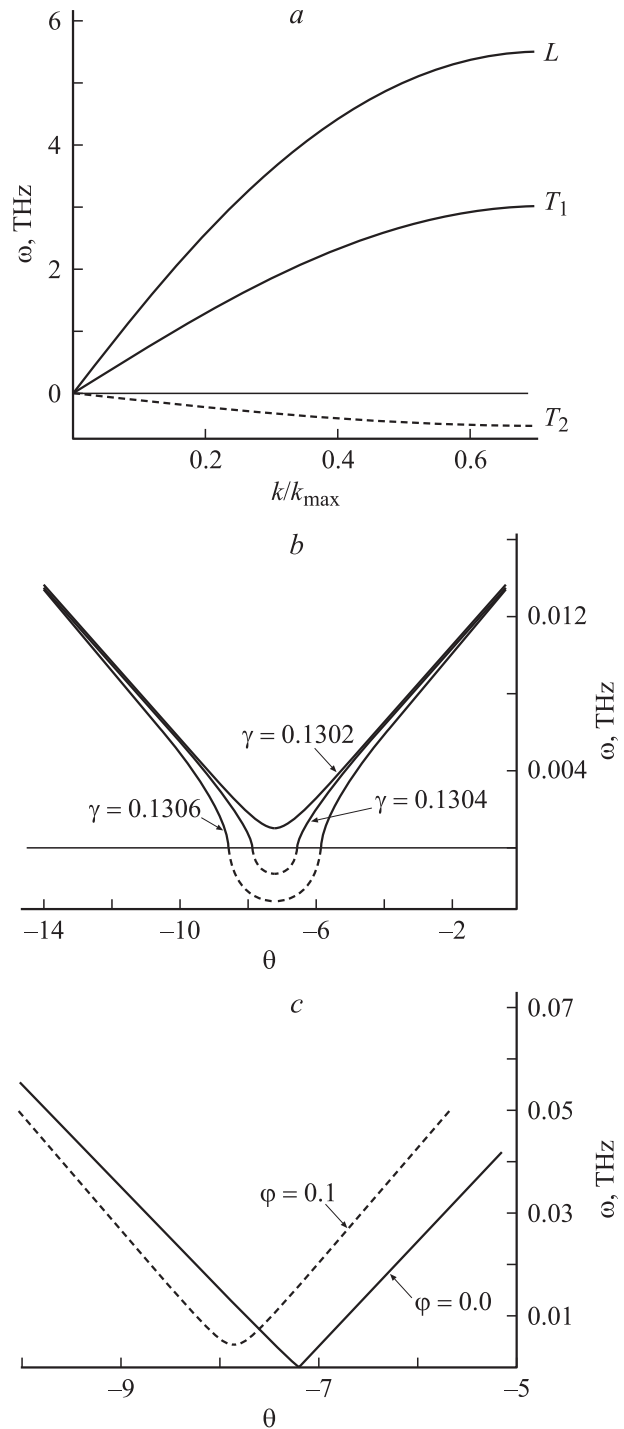


Рис. 2. Фононные спектры Ag: *a* — для направления волнового вектора $[111]$ при угле сдвига $\gamma_{\text{crit}} \approx 0.15$; *b* — для моды T_2 в зависимости от угла θ при $\varphi = 0$ для разных значений угла сдвига $\gamma(k/k_{\text{max}} = 0.1)$; *c* — для моды T_2 в зависимости от угла θ для разных значений угла φ при значении $\gamma_{\text{crit}} \approx 0.1304$.

вектора $e_{T_2}(\mathbf{k})$ с хорошей точностью совпадает с кристаллографическим направлением $[2\bar{3}2]$.

Таким образом, наиболее опасное направление движения атомов в кристалле при деформации сдвига (111)

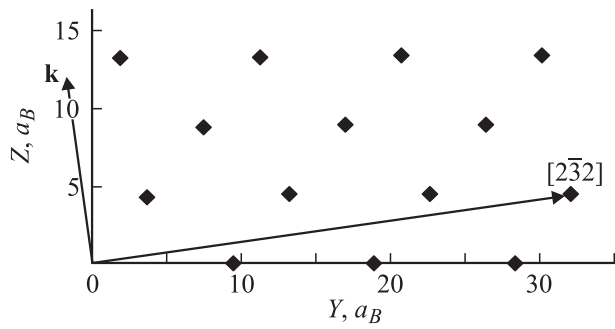


Рис. 3. Наиболее опасное направление сдвига.

$\langle 1\bar{2}1 \rangle$, приводящее к структурной неустойчивости, не полностью совпадает с направлением $\langle 1\bar{2}1 \rangle$, лежащим в плоскости (111), а имеет перпендикулярную составляющую в направлении [111], поэтому при деформации сдвига (111) $\langle 1\bar{2}1 \rangle$ должно происходить увеличение межплоскостного расстояния между плотноупакованными плоскостями (111).

Список литературы

- [1] Борн М., Кунь Х. Динамическая теория кристаллических решеток. М.: ИЛ, 1958. 488 с.
- [2] Марадудин А., Монтролл Э., Вейсс Дж. Динамическая теория кристаллической решетки в гармоническом приближении. М.: Мир, 1965. 383 с.
- [3] Бедарев С.Н., Рудер Д.Д. // Изв. АлтГУ. 2007. № 1 (43). С. 87–89.
- [4] Daw M.S., Baskes M.I. // Phys. Rev. B. 1984. Vol. 29. P. 6443–6453.